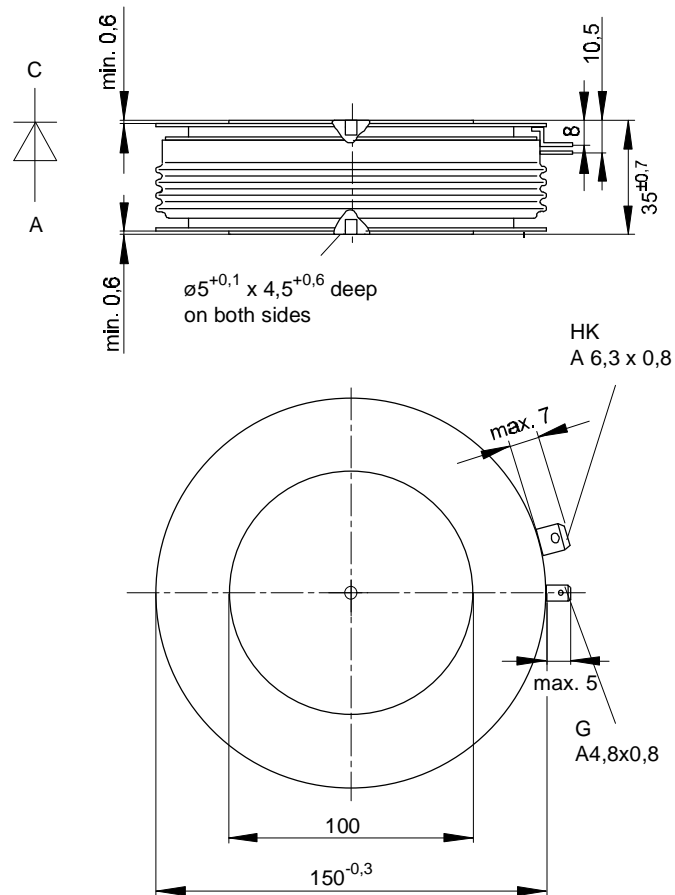




European Power-Semiconductor and Electronics Company

# Marketing Information

## T 2451 N



# T 2451 N

## Elektrische Eigenschaften Electrical properties

### Höchstzulässige Werte Maximum rated values

Periodische Vorwärts- und Rückwärts-Spitzensperrspannung	repetitive peak forward off-state and reverse voltages	$t_{vj} = -40^{\circ}\text{C} \dots t_{vj \text{ max}}$	$V_{\text{DRM}}, V_{\text{RRM}}$	3600 3800 4000 4200	V
Vorwärts-Stoßspitzensperrspannung	non-repetitive peak forward off-state voltage	$t_{vj} = -40^{\circ}\text{C} \dots t_{vj \text{ max}}$	$V_{\text{DSM}} = V_{\text{DRM}}$	3600 3800 4000 4200	V
Rückwärts-Stoßspitzensperrspannung	non-repetitive peak reverse voltage	$t_{vj} = +25^{\circ}\text{C} \dots t_{vj \text{ max}}$	$V_{\text{RSM}} = V_{\text{RRM}}$	3700 3900 4100 4300	V
Durchlaßstrom-Grenzeffektivwert	RMS on-state current		$I_{\text{TRMSM}}$	5300	A
Dauergrenzstrom	average on-state current	$t_c = 85^{\circ}\text{C}$ $t_c = 62^{\circ}\text{C}$	$I_{\text{TAVM}}$	2450 3400	A
Stoßstrom-Grenzwert	surge current	$t_{vj} = 25^{\circ}\text{C}, t_p = 10 \text{ ms}$ $t_{vj} = t_{vj \text{ max}}, t_p = 10 \text{ ms}$	$I_{\text{TSM}}$	65000 <sup>1)</sup> 57000 <sup>1)</sup>	A
Grenzlastintegral	$I^2 t$ -value	$t_{vj} = 25^{\circ}\text{C}, t_p = 10 \text{ ms}$ $t_{vj} = t_{vj \text{ max}}, t_p = 10 \text{ ms}$	$I^2 t$	21 · 10 <sup>6</sup> 16 · 10 <sup>6</sup>	A <sup>2</sup> s
Kritische Stromsteilheit	critical rate of rise of on-state current	$V_D \leq 67\%, V_{\text{DRM}}, f = 50 \text{ Hz}$	$(di_T/dt)_{\text{cr}}$	50	A/ $\mu\text{s}$
Kritische Spannungssteilheit	critical rate of rise of off-state voltage	$i_{\text{GM}} = 1,5 \text{ A}, di_G/dt = 1,5 \text{ A}/\mu\text{s}$ $t_{vj} = t_{vj \text{ max}}, V_D = 67\% V_{\text{DRM}}$	$(dv/dt)_{\text{cr}}$	1000	V/ $\mu\text{s}$

### Charakteristische Werte Characteristic values

Durchlaßspannung	on-state voltage	$t_{vj} = t_{vj \text{ max}}, i_T = 10 \text{ kA}$	$V_T$	max. 3,05	V
Schleusenspannung	threshold voltage	$t_{vj} = t_{vj \text{ max}}$	$V_{T(\text{TO})}$	1,17	V
Ersatzwiderstand	slope resistance	$t_{vj} = t_{vj \text{ max}}$	$r_T$	0,176	m $\Omega$
Zündstrom	gate trigger current	$t_{vj} = 25^{\circ}\text{C}, V_D = 6 \text{ V}$	$I_{\text{GT}}$	max. 300	mA
Zündspannung	gate trigger voltage	$t_{vj} = 25^{\circ}\text{C}, V_D = 6 \text{ V}$	$V_{\text{GT}}$	max. 2,5	V
Nicht zündender Steuerstrom	gate non-trigger current	$t_{vj} = t_{vj \text{ max}}, V_D = 6 \text{ V}$ $t_{vj} = t_{vj \text{ max}}, V_D = 0,5 V_{\text{DRM}}$	$I_{\text{GD}}$	max. 20 max. 10	mA
Nicht zündende Steuerspannung	gate non-trigger voltage	$t_{vj} = t_{vj \text{ max}}, V_D = 0,5 V_{\text{DRM}}$	$V_{\text{GD}}$	max. 0,4	V
Haltestrom	holding current	$t_{vj} = 25^{\circ}\text{C}, V_D = 12 \text{ V}, R_{\text{GK}} = 4,7 \Omega$	$I_{\text{H}}$	max. 350	mA
Einraststrom	latching current	$t_{vj} = 25^{\circ}\text{C}, V_D = 12 \text{ V}, R_{\text{GK}} \geq 10 \Omega$ $i_{\text{GM}} = 1 \text{ A}, di_G/dt = 1 \text{ A}/\mu\text{s}, t_g = 20 \mu\text{s}$	$I_{\text{L}}$	max. 2000	mA
Vorwärts- und Rückwärts-Sperrstrom	forward off-state and reverse currents	$t_{vj} = t_{vj \text{ max}}, V_D = V_{\text{DRM}}, V_R = V_{\text{RRM}}$	$I_D, I_R$	max. 430	mA
Zündverzögerung	gate controlled delay time	$t_{vj} = 25^{\circ}\text{C}, i_{\text{GM}} = 1 \text{ A}, di_G/dt = 1 \text{ A}/\mu\text{s}$	$t_{\text{gd}}$	max. 2,3	$\mu\text{s}$
Freiwerdzeit	circuit commutated turn-off time	siehe Techn.Erl./see Techn. Inf.	$t_q$	typ. 370	$\mu\text{s}$

## Thermische Eigenschaften Thermal properties

Innerer Wärmewiderstand für beidseitige Kühlung	thermal resistance, junction to case for two-sided cooling	$\Theta = 180^{\circ} \text{ el, sin}$ DC	$R_{\text{thJC}}$	max. 0,0064 max. 0,0060	$^{\circ}\text{C}/\text{W}$
Übergangs-Wärmewiderstand	thermal resistance, case to heatsink	beidseitig/two-sided	$R_{\text{thCK}}$	max. 0,0015	$^{\circ}\text{C}/\text{W}$
Höchstzul.Sperrschichttemperatur	max. junction temperature		$t_{vj \text{ max}}$	120	$^{\circ}\text{C}$
Betriebstemperatur	operating temperature		$t_{c \text{ op}}$	-40...+120	$^{\circ}\text{C}$
Lagertemperatur	storage temperature		$t_{\text{stg}}$	-40...+150	$^{\circ}\text{C}$

## Mechanische Eigenschaften Mechanical properties

Si-Elemente mit Druckkontakt	Si-pellet with pressure contact				
Anpreßkraft	clamping force		F	63...91	kN
Gewicht	weight		G	typ. 3000	g
Kriechstrecke	creepage distance			33	mm
Feuchtklasse	humidity classification	DIN 40040			C
Schwingfestigkeit	vibration resistance	f = 50 Hz		50	m/s <sup>2</sup>
Maßbild, anliegend	outline, attached				

<sup>1)</sup> Gehäusegrenzstrom 40 kA (Sinushalbwellen 50 Hz)/Current limit of case 40 kA (sinusoidal half-wave 50 Hz)

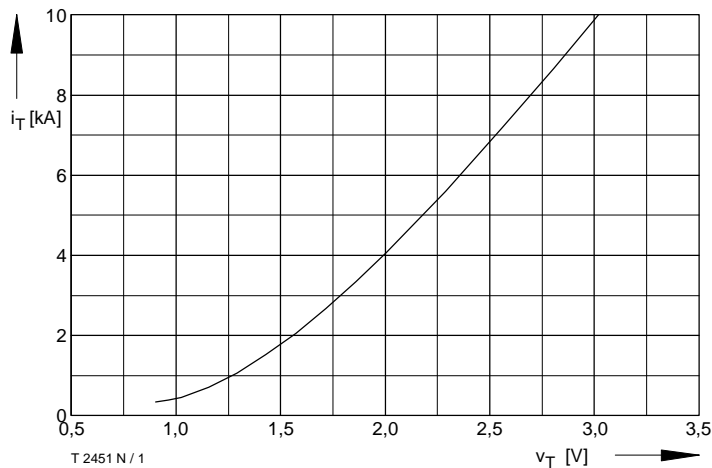


Bild / Fig. 1  
Grenzdurchlaßkennlinie / Limiting on-state characteristic  
 $i_T = f(v_T)$ ,  $t_{vj} = t_{vj \text{ max}}$

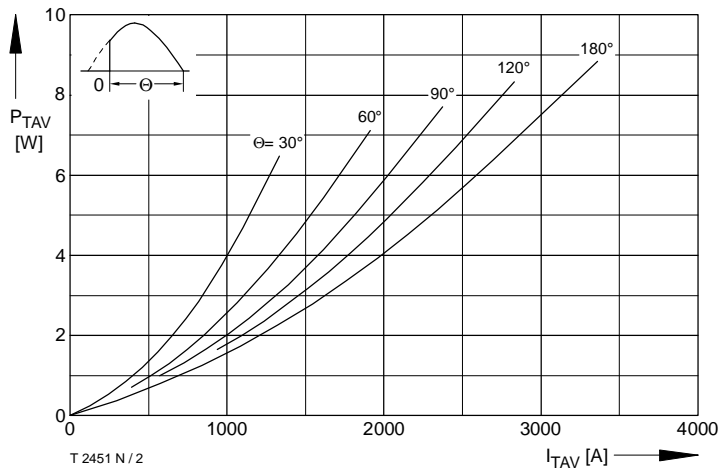


Bild / Fig. 2  
Durchlaßverlustleistung / On-state power loss  $P_{TAV} = f(I_{TAV})$   
Parameter: Stromflußwinkel / Current conduction angle  $\theta$

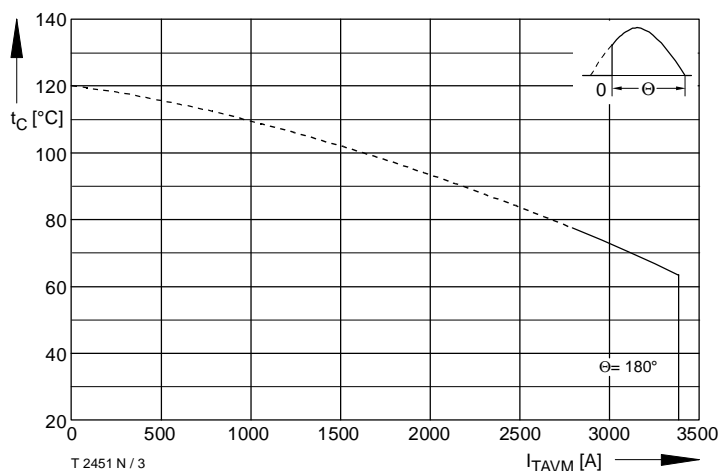


Bild / Fig. 3  
Höchstzulässige Gehäusetemperatur / Max. allowable case temperature  
 $t_c = f(I_{TAVM})$   
Beidseitige Kühlung / Two-sided cooling  
Parameter: Stromflußwinkel / Current conduction angle  $\theta$   
Berechnungsgrundlage  $P_{TAV}$  (Schaltverluste gesondert berücksichtigen) /  
Calculation base  $P_{TAV}$  (switching losses should be considered separately)

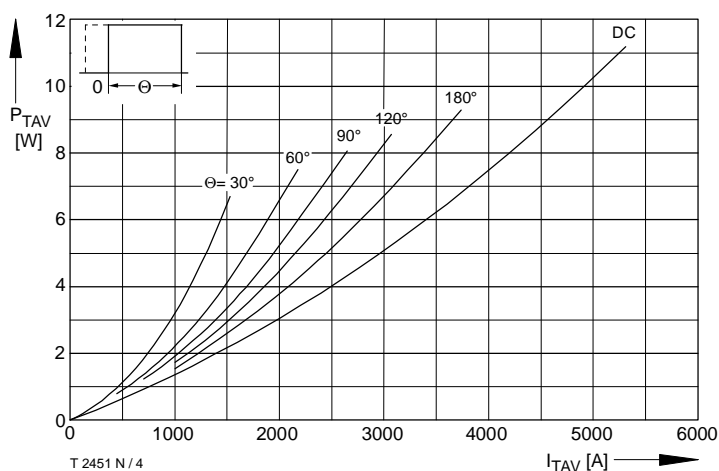


Bild / Fig. 4  
Durchlaßverlustleistung / On-state power loss  $P_{TAV} = f(I_{TAV})$   
Parameter: Stromflußwinkel / Current conduction angle  $\theta$

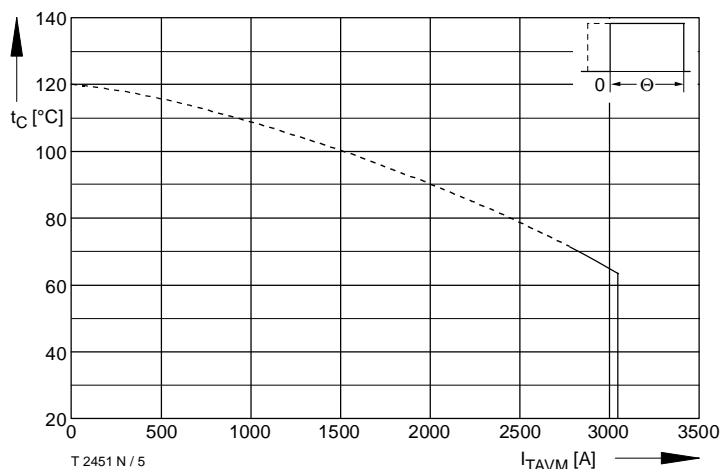


Bild / Fig. 5  
Höchstzulässige Gehäusetemperatur / Max. allowable case temperature  
 $t_c = f(I_{TAVM})$   
Beidseitige Kühlung / Two-sided cooling  
Parameter: Stromflußwinkel / Current conduction angle  $\theta$   
Berechnungsgrundlage  $P_{TAV}$  (Schaltverluste gesondert berücksichtigen) /  
Calculation base  $P_{TAV}$  (switching losses should be considered separately)

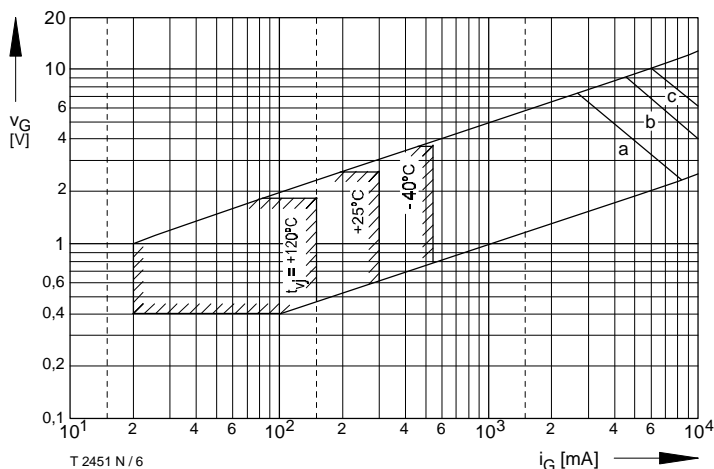


Bild / Fig. 6  
Steuercharakteristik mit Zündbereichen / Gate characteristic with triggering areas  $v_G = f(i_G)$ ,  $V_D = 6 \text{ V}$   
Parameter: a b c

Steuerimpulsdauer / trigger puls duration $t_g$ [ms]	10	1	0,5
Höchstzulässige Spitzensteuerverlustleistung / Max. rated peak gate power dissipation [W]	20	40	60

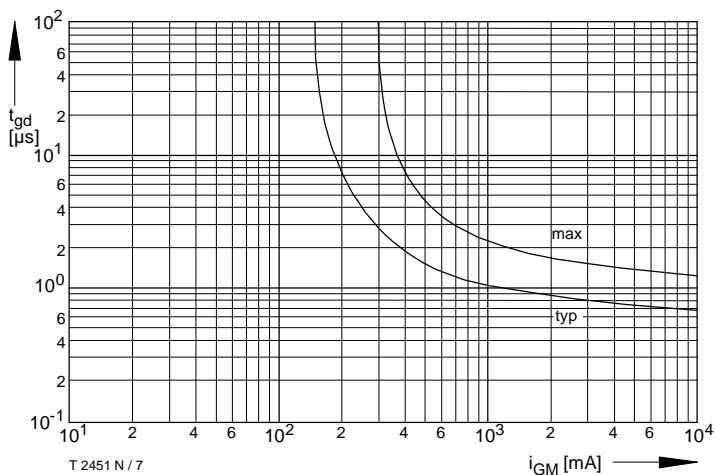


Bild / Fig. 7  
Zündverzögerung / Gate controlled delay time  $t_{gd} = f(i_{GM})$   
 $t_{vj} = 25\text{ °C}, di_G/dt = i_{GM}/1\mu s$

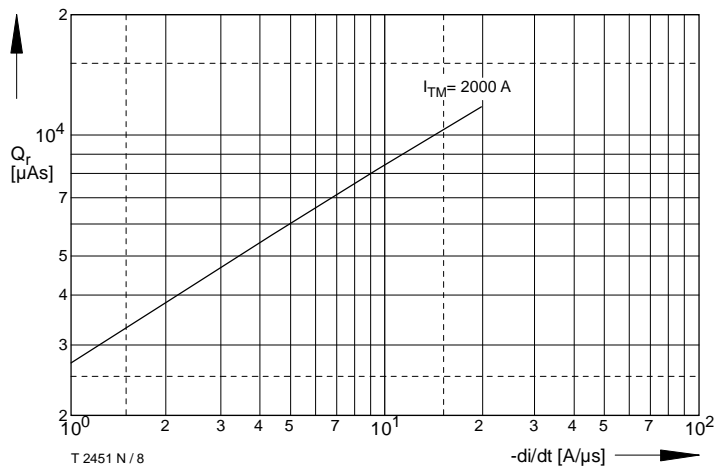


Bild / Fig. 8  
Sperrverzögerungsladung / Recovered charge  $Q_r = f(di/dt)$   
 $t_{vj} = t_{vj\ max}, V_R = 0,5 V_{RRM}, V_{RM} = 0,8 V_{RRM}$   
Parameter: Durchlaßstrom / On-state current  $i_{TM}$

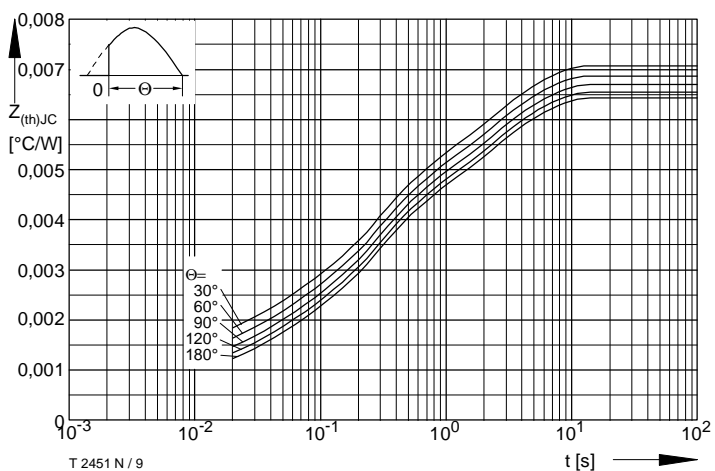


Bild / Fig. 9  
Transienter innerer Wärmewiderstand / Transient thermal impedance  
 $Z_{thJC} = f(t)$   
Parameter: Stromflußwinkel / current conduction angle  $\theta$

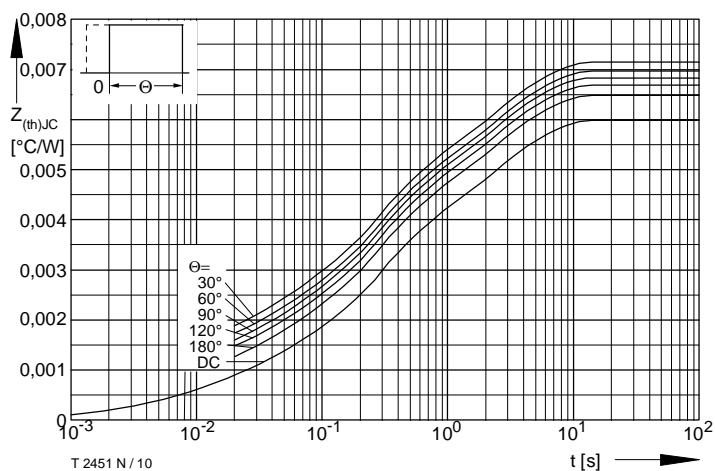


Bild / Fig. 10  
Transienter innerer Wärmewiderstand / Transient thermal impedance  
 $Z_{thJC} = f(t)$   
Parameter: Stromflußwinkel / current conduction angle  $\theta$

Analytische Elemente des transienten Wärmewiderstandes  $Z_{thJC}$  pro Zweig für DC  
Analytical elements of transient thermal impedance  $Z_{thJC}$  per arm for DC

Pos. n	1	2	3	4	5
$R_{thn} [°C/W]$	0,0003844	0,00074	0,00185	0,0038	0,00327
$\tau_n [s]$	0,0012	0,007	0,056	0,27	3,08

Analytische Funktion / Analytical function:

$$Z_{thJC} = \sum_{n=1}^{n_{max}} R_{thn} (1 - e^{-\frac{t}{\tau_n}})$$